

Programování grafických aplikací osvětlovací modely

Radek Richter

Institute of Information Theory and Automation
Academy of Sciences of the Czech Republic
Prague, Czech Republic

January 8, 2019



Outline I

① Úvod

② Světlo a materiál

③ Phong

④ Zobrazovací modely

⑤ Datové struktury

⑥ Rendery

Intro

- Teoretická přednáška

Intro

- Teoretická přednáška
 - Přehled algoritmických podkladů

Intro

- Teoretická přednáška
 - Přehled algoritmických podkladů
 - ... a matematických podkladů pro grafické algoritmy

Intro

- Teoretická přednáška
- Přehled algoritmických podkladů
- ... a matematických podkladů pro grafické algoritmy
- Matematika je základ, bez kterého to nejde
(alespoň její intuitivní pochopení)

Matematicko-fyzikální minimum

- Vektory, skalární součin
 - Integrály
 - Sférické souřadnice
 - ...

Osvětlení

- Virtuální 3D scéna
 - obrazová reprezentace matematickými objekty zadané scény
 $\mathcal{R}^3 \longrightarrow \mathcal{L}^2$
 - Reálná scéna
 - odrážení fotonů
 - přejímání barev
 - nerovné povrchy
 - nespojitě *vyplněné* povrchy
 - atd.

Empirické osvětlovací modely

Realizace fyzikálně přesného výpočtu osvětlení scény je extrémně obtížné (ne-li nemožné) a především výpočetně náročné.

Empirické modely se snaží approximovat a zachovat fyzikální chování a přitom být výpočetně co nejméně náročné.

Světlo

- Dualistická povaha světla
 - Předpoklady pro zjednodušení
 - světlo se šíří přímočaře
 - rychlosť šíření světla je nekonečná
 - světlo není ovlivňováno gravitací
 - světlo není ovlivňováno EM polem
 - světlo není ovlivňováno relativistickými jevy

Světlo

- Často pracujeme se sférickými souřadnicemi
- Se světlem se počítá jako s vektorem procházejícím jednotkovou polokoulí nad bodem
 - lokální souřadnicová soustava vztázená ke každému bodu
- Jednotkový vektor ω může být popsán jako bod na povrchu jednotkové koule a vyjádřen pomocí dvou úhlů θ, ϕ .
 - $\theta [0, 2\pi]$ - výška bodu
 - $\phi [0, \frac{\pi}{2}]$ - azimut

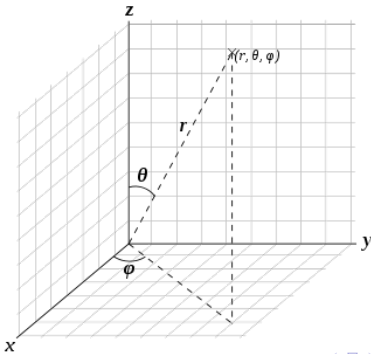
Světlo

- Uspořádaná trojice sférických souřadnice $[r, \theta, \phi]$ určuje jednoznačně polohu bodu na kouli o poloměru r

$$x = r \cos \phi \sin \theta$$

$$y = r \sin \phi \sin \theta$$

$$x = r \cos \theta$$



BRDF

- Většina světla, která vidíme je odražené
 - Barva objektu je dána spektrální charakteristikou světla, které na něj dopadá, ale především vlastnostmi povrchu, zejména tím, jaké vlnové délky v jakém směru odráží
 - Obusměrná odrazová funkce BRDF charakterizuje odrazové schopnosti materiálu v určitém jeho bodě (x)
 - světlo dopadá ve směru ω_i a odráží se do směru ω_r .
 - BRDF se označuje $f_r(x, \omega_r, \omega_i)$ a definuje poměr odražené radiance v daném bodě x označení jako $dL_r(x, \omega_r)$ ke vstupní radianci $dL_i(x, \omega_i)$ promítnuté na kolmou plochu

$$f_r(x, \omega_r, \omega_i) = \frac{dL_r(x, \omega_r)}{dL_i(x, \omega_i)(\omega_i n)d\omega_i} \quad (1)$$

pokud radiance dopadá kolmo na plochu, je tedy přijatý světelný výkon nejsilnější

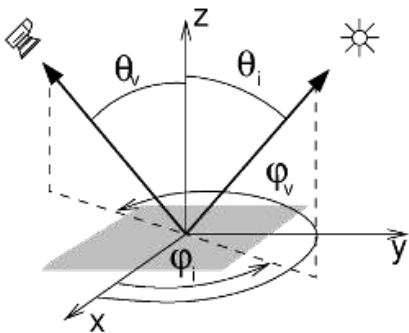
BRDF

- Místo obtížně zjistitelné funkce se BRDF modeluje pomocí měření a vzorků
 - Zjištění chování povrchu sérií měření
 - Základní proměnnou je v BRDF úhel osvětlení a pohledu
 - Minimální jendoduchá množina pro měření je cca 81×81 měření (forát UBO)

θ	15	30	45	60	75
$\Delta\phi$	60	30	20	18	15

Nominální směry θ a jejich příslušné přírůstky ϕ

BRDF



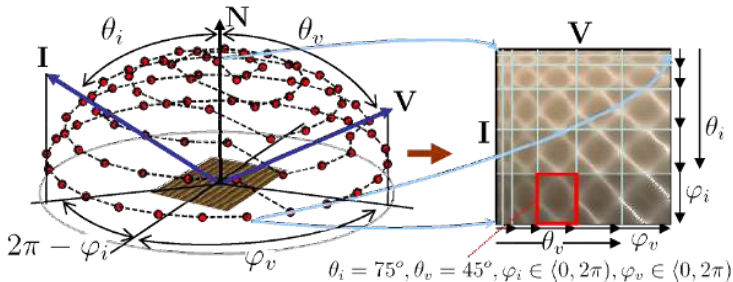
BRDF



Klasický způsob zobrazení BRDF je zobrazení koule s daným materiélem (Jakou to má nevýhodu?)

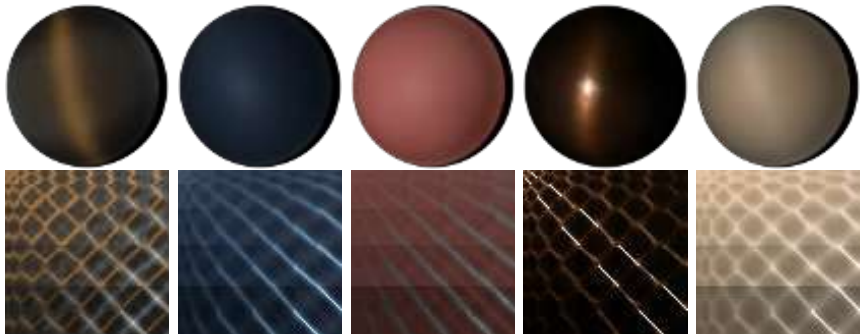
BRDF

- Měření
 - <http://btf.utia.cas.cz/>



BRDF

- Komplexnější zobrazení
 - <http://btf.utia.cas.cz/>



BRDF

- Komplexnější zobrazení
- <http://btf.utia.cas.cz/>



BRDF

- Klasické zobrazení
 - <http://btf.utia.cas.cz/>



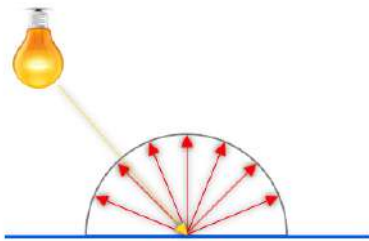
BRDF

- Měření
- <http://btf.utia.cas.cz/>



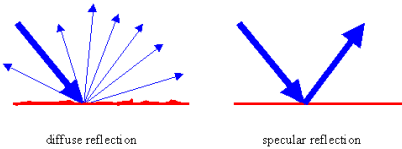
Difuzní odraz

- Ideálně rozptýlené světlo (diffuse)
 - ideální difuzí povrch - *Lambertovský povrch*
 - pouhá matematická abstrakce
- Plastické povrchy, nevyleštěné, ...



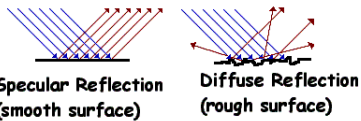
Zrcadlový odraz

- Ideálně odražené světlo (specular)
 - fresnelova rovnice
 - lom světla, ...



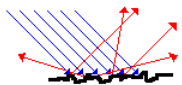
Zrcadlový odraz

- Ideálně odražené světlo (specular)
 - fresnelova rovnice
 - lom světla, ...

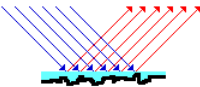


Zrcadlový odraz

- Ideálně odražené světlo (specular)
 - fresnelova rovnice
 - lom světla, ...



A dry asphalt roadway diffuses incident light.



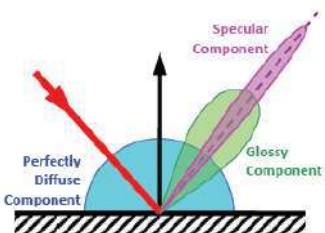
When wet, water fills in the crevices, resulting in specular reflection and a glare.

Lesklý odraz

- Lesklý, ale ne dokonale zrcadlový (*glossy*)
 - fresnelova rovnice
 - mikroplošky

Odrazy

- Součet všech složek odražených paprsků



Osvětlovací model

- Osvětlovací model
 - udává, jak na základě vlastnosti scény, objektu a pozorovatele zjistit vlastnosti o barvě objektu
 - tj. i udává i to, *jak scénu popisovat*
 - modelů je celá řada
 - Phong
 - rychlý, jednoduchý. Především na plastové povrchy.
 - Blinn-Phong (úprava phonga, odlesky)
 - Lambert (jednoduchý, předpoklad ideálně difuzního materiálu)
 - Torrance-Sparrow (mikrofacety, realistický)
 - Cook-Torrance (mikrofacety, vlnová délka)
 - Ward
 - Oren-Nayar, ...

Phongovo stínování

- Osvětlovací model
 - udává, jak na základě vlastnosti scény, objektu a pozorovatele zjistit vlastnosti o barvě objektu
 - Phongův osvětlovací model
 - Stínování
 - Říká, jak a kde model a výpočet aplikovat
 - Phongovo stínování

Phongův osvětlovací model \neq Phongovo stínování

Stínování

- Ploškové (flat)
 - pro každou plochu se spočte jedna barva
 - Goraudovo
 - barva pro každý vrchol
 - normála je konstantní
 - uvnitř plochy se interpoluje
 - Phong
 - pro každý bod
 - normála se interpoluje



Stínování

- Ploškové (flat)
 - pro každou plochu se spočte jedna barva
 - Goraudovo
 - barva pro každý vrchol
 - normála je konstantní
 - barva uvnitř plochy se interpoluje
 - Phong
 - pro každý bod
 - normála se interpoluje



Stínování



(iii)



(b₁)



(c)



(82)



(b₂)



(c2)



(a)₃



(b3)



(c) 3.

Phongův osvětlovací model

- Silně empirický
 - rychlý
 - vizuálně často dostačující
 - nedostatečné osvětlení (např. v rozích) vyvažuje zavedené ambientní osvětlení

$$I_V = I_s + I_d + I_a$$

- Ambientní složka
 - Difuzní složka
 - Zrcadlová složka

Phongův osvětlovací model

$$I_V = I_s + I_d + I_a \quad (2)$$

- Ambientní složka
 - Difuzní složka
 - Zrcadlová složka

$$I_s = I_L r_s (\vec{v} \vec{r})^h \quad (3)$$

I_L barevné složení dopadajícího paprsku

\vec{v} jednotkový vektor pohledu

\vec{r} směr ideálního zrcadlového odrazu

(symetrický k vektoru pohledy podle normály)

$$\vec{r} = 2(\vec{l}\vec{n})\vec{n} - \vec{l}$$

(skalární součin)

$r_s[0, 1]$ trojsložkový koeficient odrazu

h skalárni koeficient ostrosci odrazu

Phongův osvětlovací model

$$I_V = I_s + I_d + I_a \quad (4)$$

- Ambientní složka
 - Difuzní složka
 - Zrcadlová složka

$$I_s = I_L r_s (\vec{h} \vec{n})_{h_B} \quad (5)$$

Blinnovo zjednodušení

\vec{h} půlvektor, $\vec{h} = \frac{\vec{l} + \vec{v}}{\|\vec{l} + \vec{v}\|}$

n normála v bodě dopadu vektoru pohledu

l vektor ke světlu

Phongův osvětlovací model

$$I_V = I_s + I_d + I_a \quad (6)$$

- Ambientní složka
 - Difuzní složka

$$I_d = I_L r_d(\vec{l} \vec{n}) \quad (7)$$

r_d trojsložkový koeficient odrazu, udává zastoupení barvy

odraženého světla a udává to, co vnímáme jako barvu tělesa

I_L barevné složení dopadajícího paprsku

n normála v bodě dopadu vektoru pohledu

l vektor ke světlu

- Zrcadlová složka

Phongův osvětlovací model

$$I_V = I_s + I_d + I_a \quad (8)$$

- Ambientní složka

$$I_a = I_A r_a \quad (9)$$

I_A množství okolního světla, empirická veličina, konstantní pro celou scénu

r_g koeficient schopnosti povrchu odrážet barvy, obvykle totožný s r_d

- nenulové I_A zajišťuje, aby i plochy odvrácené od světla byly lehce osvětleny

- Difuzní složka
 - Zrcadlová složka

Phongův osvětlovací model

A když je světelních zdrojů více?

$$I_V = I_s + I_d + I_a \quad (10)$$

$$I_V = I_A r_s + \sum_{k=1}^M I_{L_k} (r_s (\vec{v} \vec{r}_k)^h + r_d (\vec{l}_k \vec{n})) \quad (11)$$

Tato rovnice se nazývá Phongův osvětlovací model [MPG] 15.9.1

Řešení viditelnosti

- Paměť hloubky
 - Malířův algoritmus
 - Malířův algoritmus + BSP
 - Dělení obrazovky
 - Plovoucí horizont
 - Liniové algoritmy
 - Metody založená na vrhání paprsku
 - Metody založená na agregaci fotonů

Stíny

- Samotná viditelnost objektů k vytvoření stínů nestačí
 - Projekční metody
 - Stínová tělesa
 - Stínová paměť hloubky
(viz PGR)

Globální zobrazovací metody

- Metody vycházející od pozorovatele (gathering methods)
 - sledování paprsku (ray tracing)
 - sledování cesty (Monte Carlo path tracing)
 - Metody vycházející od světelného zdroje
 - sledování fotonů
 - Dvousměrné metody
 - dvousměrné sledování cesty
 - fotonové mapy
 - Radiozita

Jednoduché algoritmy řešení viditelnosti

- Vždy svázány s konkrétní reprezentací prostorových dat
 - základní dělení
 - vektorové algoritmy (vytvoří množinu viditelných objektů)
 - rastrové algoritmy (vytvoří obraz)
 - dělení dle prostorů výpočtu
 - v prostoru objektů (Pro každý objekt zjisti, která jeho část je vidět)
 - v prostoru obrazu (pro každý pixel zjisti, který objekt je v něm vidět)

Raytracing (ray casting)

Sleduj Paprsek(paprsek, hloubkarekurze)

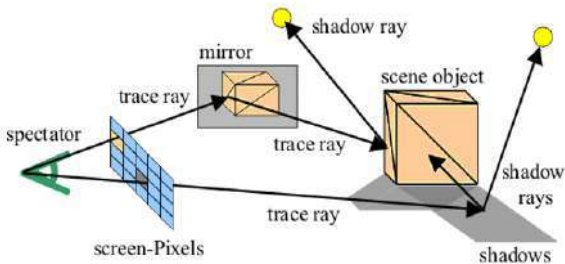
- ① Nalezni průsečík P mezi R a objekty
- ② Pokud P není, přiřad' barvu scény
- ③ Ke každému světelnému zdroji vyšli z bodu P stínový paprsek
 - pokud paprsek dorazí, označ zdroj jako nezakrytý
- ④ Vyhodnot' příspěvky osvětlení v bodě P od nezakrytých zdrojů
- ⑤ Pokud hloubky H nepřekročila maximální hloubku rekurze, vyšli:
 - odražený paprsek R_R voláním *SledujPaprsek($R_T, H + 1$)*
 - lomený paprsek R_T voláním *SledujPaprsek($R_T, H + 1$)*
- ⑥ Paprsku přiřad' výslednou barvu jako součet příspěvků osvětlení barvy odraženého paprsku R_R a barvy lomeného paprsku R_T

Raytracing (ray casting)

- Primární paprsky
 - paprsek vyslaný z místa pozorovatele bodem obrazu (pixelem)
- Sekundární paprsky
 - vytvoře po dopadu primárního, nebo sekundárního paprsku na těleso
 - reprezentuje stav, kdy se předchozí paprsek na povrchu tělesa odrazil zpět do prostoru scény (nebo pronikl do polopruhledného tělesa)
 - počet je vysoký, každá sekundární paprsek může vyslat další dva sekundární lomený a odražený)
- Stínový paprsek
 - testy viditelnosti zdroje světla
 - vysílán z bodu kam dopadl primární, nebo sekundární paprsek

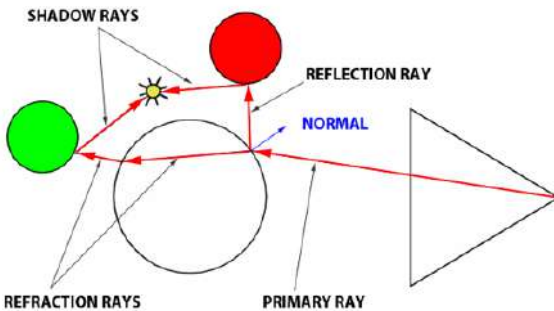
Raytracing (ray casting)

- Primární paprsky
- Sekundární paprsky
- Stínový paprsek



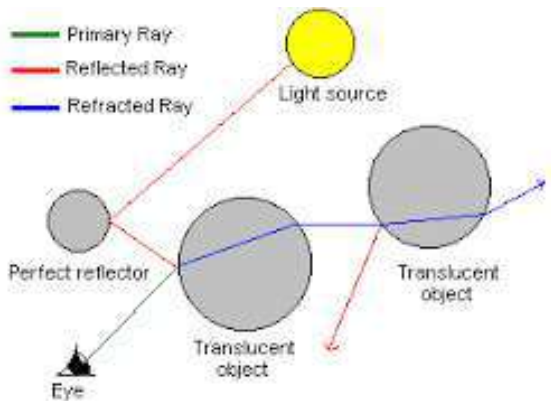
Raytracing (ray casting)

- Primární paprsky
- Sekundární paprsky
- Stínový paprsek



Raytracing (ray casting)

- Primární paprsky
- Sekundární paprsky
- Stínový paprsek



Raytracing (ray casting)

- Phongův osvětlovací model
 - jak se vypořádat se 'součet příspěvků osvětlení barvy odraženého paprsku R_R a barvy lomeného paprsku R_T '?
 - Rozšíření Phongova osvětlovacího modelu

$$I_V = I_s + I_d + I_a + I_r + I_t \quad (12)$$

I_s, I_d, I_a - příspěvky ze světelných zdrojů

$I_r = r_s I_R$ - paprsek ze směru odrazu (r_s už známe z původního vzorce)

$I_t = r_t I_T$ - paprsek ze směru lomu (r_t koeficient útlumu, závisí na vzdálenosti, tělese)

Raytracing (ray casting), omezení

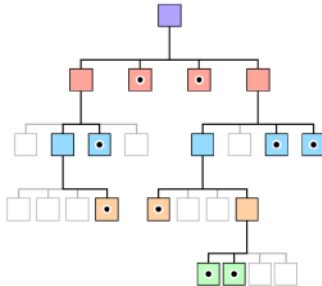
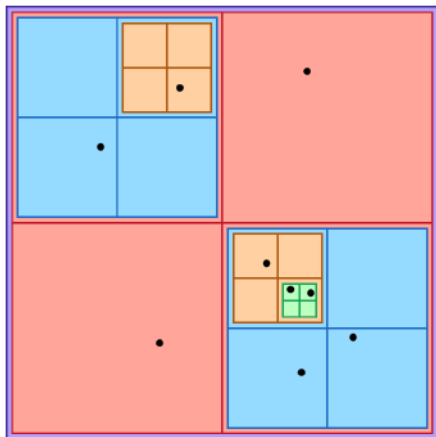
- Vržené stíny jsou ostré
 - Předpoklad jen bodových zdrojů světla
 - Zrcadla ve scéně odražejí odraz těles, ale už ne světlo!
 - Při změně polohy pozorovatele nebo tělesa se provádí výpočet kompletně odzačátku
 - I na nelesknoucí se plochy se používají odrazové paprsky

Datové struktury a reprezentace scény

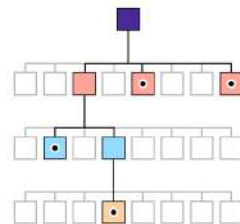
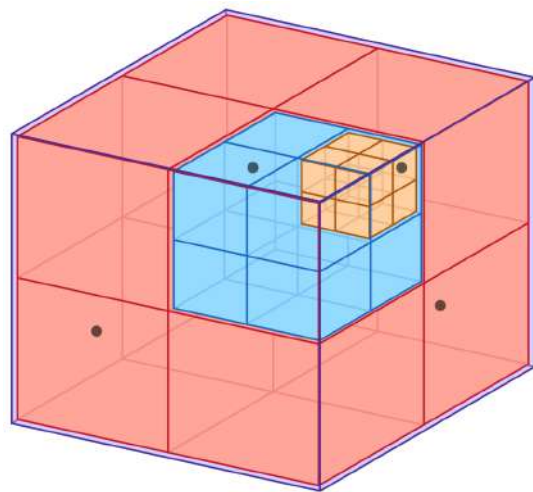
Pro metody postavená na simulaci paprsků/fotonu je využití celé scény najednou nepoužitelné - noročnost stoupá s počty objektů ve scéně.

- Grafem scény s hierarchií obálek
 - Grafem scény s dělením prostoru
Kd tree, Octree, R-Treee, BSP tree, ...

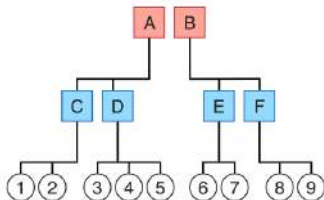
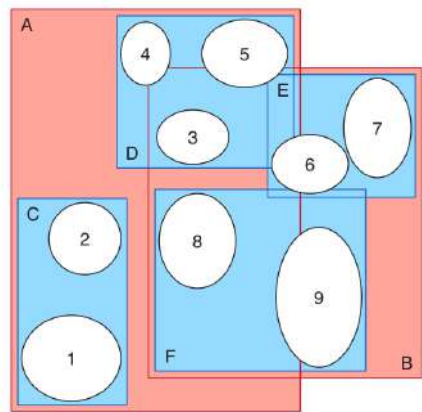
Octree (2D) = Quadtree



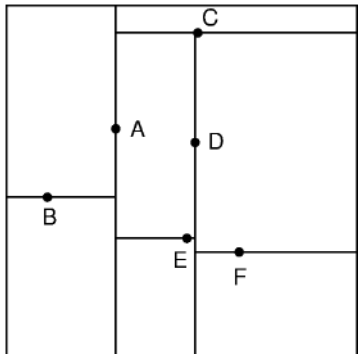
Octree (3D)



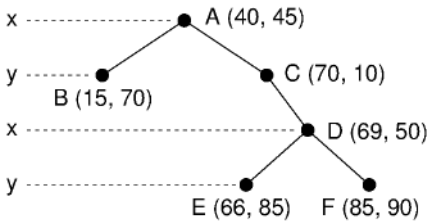
R-tree



KD-tree



(a)



(b)

Datové struktury

- Jednotlivých datových struktur je obrovské množství a vydají na celý jeden předmět
- Použití vhodných datových struktur je nezbytné pro rendering
- Tyto datové struktury je možné (v vhodné!) použít například v data science (KNN, approx KNN, shlukování, ...)

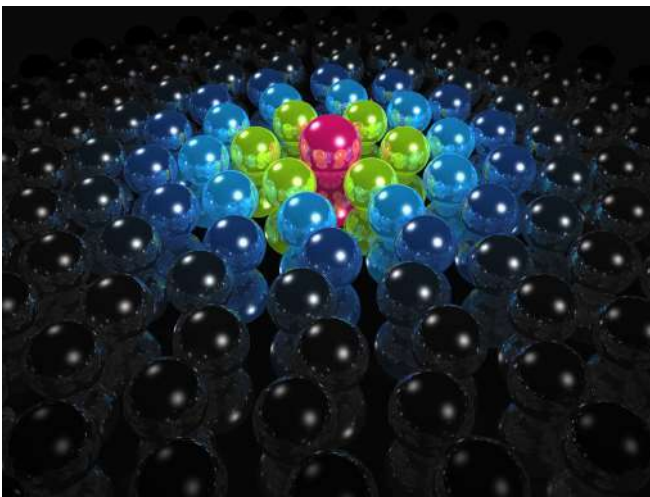
Ukázky RT



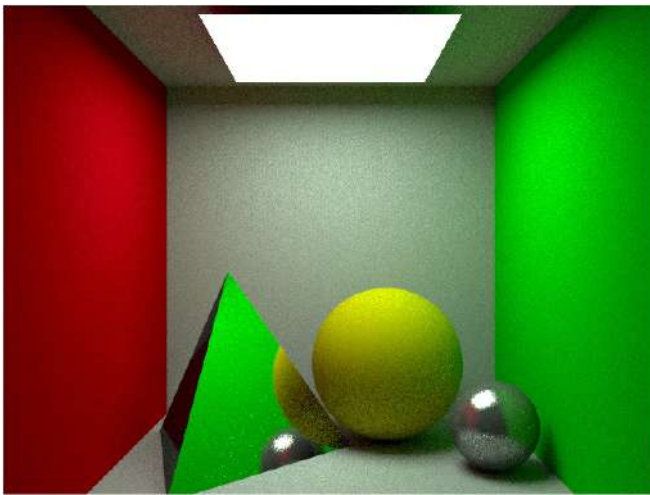
Ukázky RT



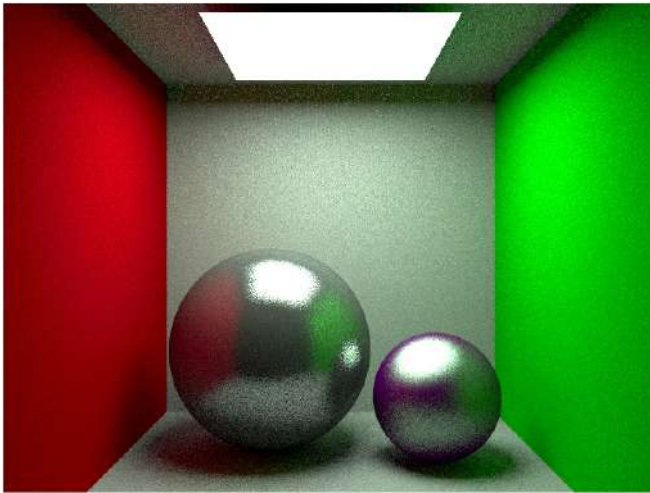
Ukázky RT



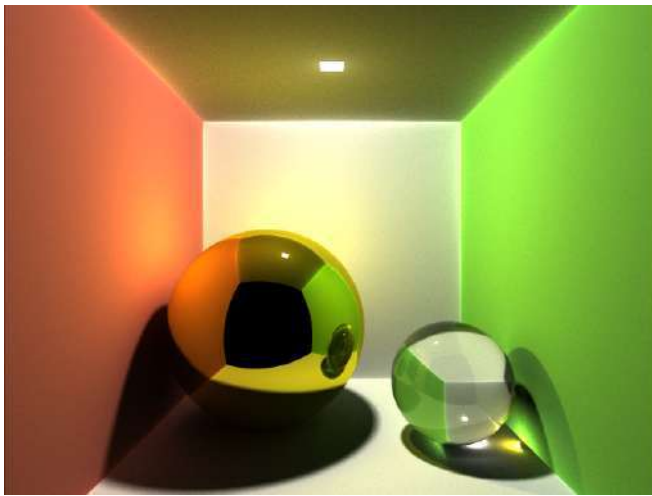
Ukázky RT, bidirectional



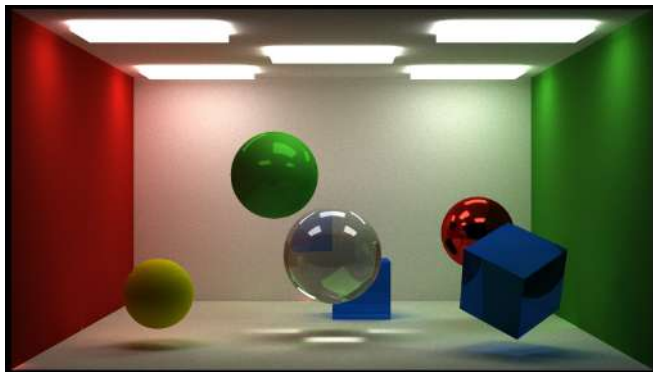
Ukázky RT, bidirectional



Ukázky RT, photon



Ukázky RT, photon



Ukázky RT, GI



